

武藏工業大学 正会員 星谷 勝
フジタ工業(株) 正会員○奇藤 悅郎

1. はじめに

本研究は、制御理論の拡張カルマンフィルター^{*1)}を用い、入力及びバイリニア系システムのフィルターで応答したノイズを含んだ観測データから、その系における各パラメーターの推定を行ったものである。拡張カルマンフィルターは、時系列解析で、システムを構成している支配方程式が明らかな場合には、簡単にその支配方程式を、アルゴリズム中に組み込むことができる特徴を持つ。N. Distefano^{*2)}らは、最適化手法を用い、粘性減衰を含まないバイリニア系に対し、固有円振動数を既知とした場合の各パラメーターの同定を行っている。本研究では、粘性減衰を含んだバイリニア系で、固有円振動数をも未知量とした。なお同定には、我々が開発した、拡張カルマンフィルターアルゴリズムに対する重み付きのグローバルな^{*3)}練り返し方法を適用した。

2. 状態方程式、遷移行列の作成

系の支配方程式を拡張カルマンフィルターアルゴリズムに組み込^{*1), *3)}むためには、状態方程式と遷移行列が必要となる。

粘性減衰を含んだバイリニア系の運動方程式は、

$$\ddot{x} + 2\beta\omega_0 \dot{x} + \omega_0^2 g(x) = -\ddot{u} \quad (1) \quad \text{復元力; } g(x)$$

$$\overline{FC}; g(x) = x \quad -x_e \leq x \leq x_e$$

$$\overline{BD}; g(x) = \alpha x + (1-\alpha)x_e \quad x > 0$$

$$\overline{ED}; g(x) = x + (1-\alpha)(x_e - x) \quad x - 2x_e \leq x \leq x$$

$$\overline{AE}; g(x) = \alpha x - (1-\alpha)x_e \quad x < 0$$

$$\overline{AB}; g(x) = x - (1-\alpha)(x' + x_e) \quad x' \leq x \leq x' + 2x_e$$

α ; 脆塑性傾斜率, x_e ; 降伏変位, として与えられる(図-1)。
次に、 $u = \ddot{x}$, $x_1 = x$, $x_2 = \dot{x}$ とおき、システムを状態空間表示する。そして同定するパラメーターを、 $x_3 = \beta$, $x_4 = \omega_0$, $x_5 = x_e$, $x_6 = \alpha$ とおいて、各パラメーターが定常であるとすると、バイリニア系に対する状態方程式が得られる。

$$\begin{bmatrix} \dot{x}_1 \\ \dot{x}_2 \\ \dot{x}_3 \\ \dot{x}_4 \\ \dot{x}_5 \\ \dot{x}_6 \end{bmatrix} = \begin{bmatrix} x_2 \\ -2x_3x_4x_2 - x_4^2g' - u \\ 0 \\ 0 \\ 0 \\ 0 \end{bmatrix} \quad (2)$$

ただし $g' = g'(x_1, x_5, x_6)$

離散化した遷移行列は(2)式を用い、

$$\phi_{11} = \phi_{33} = \phi_{44} = \phi_{55} = \phi_{66} = 1.0, \quad \phi_{12} = \Delta$$

$$\phi_{13} = -\Delta x_4^2 \left\{ \frac{\partial g'}{\partial x_1} \right\}, \quad \phi_{32} = 1 - 2\Delta x_3 x_4$$

$$\phi_{14} = -2\Delta x_4 x_2, \quad \phi_{23} = -2\Delta \left\{ x_3 x_2 - x_4 g' \right\}$$

$$\phi_{15} = -\Delta x_4^2 \left\{ \frac{\partial g'}{\partial x_5} \right\}, \quad \phi_{24} = -\Delta x_4^2 \left\{ \frac{\partial g'}{\partial x_6} \right\}$$

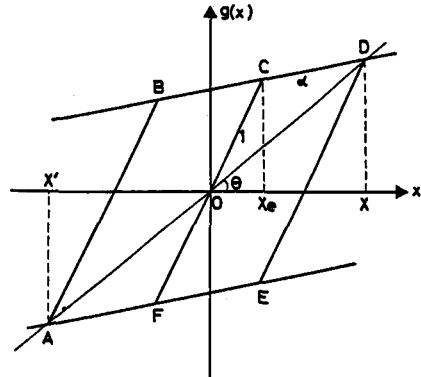


図-1 バイリニア系の復元力特性

表-1 初期条件

初期の最適推定値	初期の標準の共分散値
$X_1 = 0.0$	$P_{11} = 0.001$
$X_2 = 0.0$	$P_{22} = 0.001$
$X_3 = 0.1$	$P_{33} = 0.0$
$X_4 = 10.0$	$P_{44} = 10^4$
$X_5 = ? - 0.04$	$P_{55} = 0.0 - 10^4$
$X_6 = 1.0$	$P_{66} = 10^4$

$R = 10^8 \quad P_{ij} = 0.0 (i \neq j)$

表-2 粘性減衰が既知の場合の同定結果

Model	ω_0	x_e	α		
B9	7.00	0.052	0.90	----	----
B7.5	7.00	0.049	----	0.77	----
B5	6.95	0.052	----	----	0.46
EV	7.07	0.050	0.90	0.75	0.50

EV ; Exact Values

その他の要素は 0.0, Δ ; 時間刻み, として与えられる。

3. 粘性減衰が既知の場合の同定

同定に用いる 1 対の入出力観測波形は、応答計算により算出した。入力観測波形は、正弦波 ($f=1.13 \text{ Hz}$) で最大加速度 1.0 m/sec^2 , 継続時間 15 sec, 時間刻み 0.01 sec とした。またバイリニア系システムは $B_9, B_{9.5}, B_{5.5}$ の 3 ケース ($B_9; \omega_0 = 7.07, X_e = 0.05, \alpha = 0.9$) を用い、各パラメータの諸量を表-2 に示した。そしてマニのシステムによる応答波形の 2 条平均値に対して、それぞれ $1\% \alpha$ のノイズを付加して出力の観測データとした。表-1 は、各パラメーターの初期値を示した。しかしながら、バイリニア系の同定の特徴として、 X_{ea} 初期値の与え方が問題となる。この値を変位観測波形の最大値を越えた値として与えると、以降 X_{ea} 同定結果は、任意に選んだ初期値と等しい値となってしまう。そしてこの時得られた α は、バイリニア系を線形系のモデルで置き換えたことを意味した等価な固有円振動数として同定される。そこで X_e を初期においてある程度推定する次の操作が必要となる。図-2 は、

$X_{ea} P_{5.5}$ を 0.0 と同定し X_e をパラメトリックに変化させ同定を行ったものである。この図から、 X_{ea} 値が変位観測波形の最大値を越えた範囲において、 α, ω_0, α 同定結果はそれぞれ、初期値、等価な固有円振動数と等しい値となるが、 X_{ea} 値が小さくなるに従がい、意味のある値として同定されなくなる。そしてこの範囲の X_e を任意に定め、初期値とした。表-2 は、表-1 の初期条件を用い、変位を観測波形とした場合の同定結果を示したものである。同表から各パラメーターとも真の値に近い値が同定されることがわかる。

4. 粘性減衰も未知な場合

初期条件は、表-1 と同じ値を用いた。ただし、 β の初期値としては、最大の 1.0 とした。変位波形のみを観測波形として用いた場合には、粘性減衰と履歴減衰との分離ができず、安定した同定結果は得られなかった。一方変位波形と同時に速度波形を観測波形として用いれば、重み付きのグローバルな繰り返しを行なうことにより、安定した同定結果を得ることができた(図-4)。同図より、 α の値が減少するに従がい、1 回目のグローバルな繰り返しによる同定結果が不安定となり、特に β, α の値が安定するまで、かなりの重み付きのグローバルな繰り返しが必要であることがわかる。しかしながらこの繰り返しを 20 回程度行なえば、各パラメーターとも、真の値に対して 10% 以内に同定できることが明らかになった。

*参考文献 1) Jozwiński, A.H.; Stochastic Process and Filtering Theory 1970 2) Di Stefano, N. et al; Sequential identification of hysteretic and Viscous model in structural seismic dynamics, Comp Mech App Mech

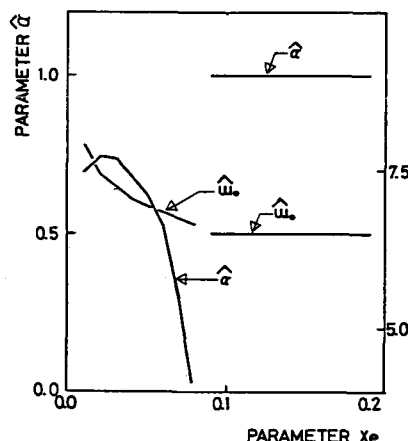


図-2 X_e をパラメトリックに $L_2 \alpha, \omega_0$ を同定した場合

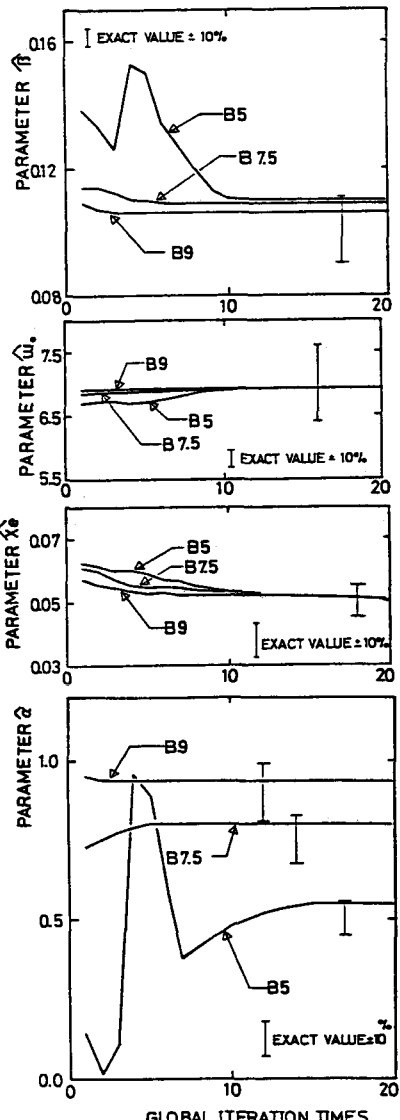


図-3 粘性減衰も未知な場合の同定結果